

東京大学工学部 正量

奥村敏恵

桜田機械工業 KK 正量

○鈴木康弘

薄肉断面材ではダイアフラム、トラスなどの横方向補剛材を入れることによって断面形状を保持しているが、この補剛材がうける応力、および補剛材が断面本体に及ぼす効果を調べるにはまず断面変形を考慮した場合の応力、変位が解かれねばならない。従来の薄肉梁に関する曲げ振れ理論などでは断面形状は不变という大前提を含んでいたためこれに基づくことはできない。断面変形を考慮した薄肉梁の解法としてはいわゆる折板構造理論があるが、その理論との仮定を力学的モデルで示すと図1のようになる。従来の研究ではこれを高次の不静定構造と考え、未知不静定力(横剪断力と横横方向モーメント)を未知数とする基本方程式を立てているが、境界条件の導入等に不便があるので、本研究では断面の変位、変形を規定する独立な変位成分を未知数とする基本方程式を導くことを試みた。また従来の理論ではSt. Venantの振れ抵抗が含まれていはないが、こゝではこれを考慮した。計算はエネルギー法によつている。

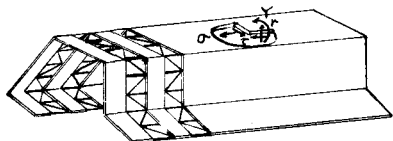
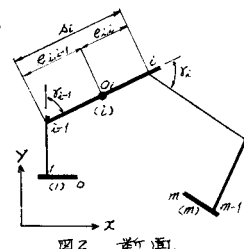


図1. Orthotropic Three Dimensional System.

図-2 に示すようなM個の平板の重なりからなる断面を取り扱う。U、Vを独立な変位成分 すなはち図-3に示すような変位成分のうちの各板の面内変位 $\epsilon_i$  ( $i=1, 2 \dots m$ ) および種の回転角 $\alpha_i$  ( $i=1, 2 \dots m-1$ ) である。まずVは  $V = V_1 + V_2 + V_3$  の3つの部分に分けて考える。

$V_1$  は各板の荷作用(簡単化された板作用)による垂エネルギーで、各板の内部では垂が直線分布をすること、棟で両側の板の垂が等しいという条件を用いること



$$V_1 = \frac{E}{2} \sum_{i=1}^m R_{ii} \epsilon_i''^2 dz + \frac{E}{2} \int_L \sum_{\substack{j=1 \\ (j \neq i)}}^m Z R_{jj} \epsilon_j'' \epsilon_i'' dz + \frac{E}{2} \int_F \epsilon''^2 dz$$

ここで $\epsilon''$  は全断面で平均化された垂で

$$\epsilon = \frac{1}{F} \sum_{i=1}^m F_i \epsilon_{0i} \quad F = \sum_{i=1}^m F_i$$

$$\text{また } R_{ii} = I_{ii} + \sum_{j=1}^m F_j A_{ji} \quad R_{jj} = \sum_{i=1}^m F_i A_{ij} A_{ji} \quad (i \neq j)$$

$F_i, I_{ii}$ ：各板の断面積 および強軸まわりの断面二次モーメント

$$\left. \begin{aligned} A_{ii,j} &= a_j + c_{ii,j} \quad (i \leq j) \\ &= a_j \quad (j > i) \end{aligned} \right\} \quad a_i = -\frac{E}{F}(F - F_i), \quad a_j = -\frac{1}{F}(c_{jj} F_j + \sum_{i \neq j} F_i)$$

$$i=1, c_{11}=0; \quad i=2, c_{21}=c_{11}, \quad c_{22}=c_{21}; \quad i>3, c_{ii}=c_{11}, \quad c_{ii}=c_{ii-1}$$

$V_2$  は横方向モーメント(簡単化された板作用)による垂エネルギーで

$$V_2 = \int_L \sum_{i=2}^{m-1} \frac{2D_i}{\lambda_i} \{ q_{i-1}^2 + q_{i-1} q_i + q_i^2 - 3 \lambda_i (q_{i-1} + q_i) + 3 \lambda_i^2 \} dz$$

$$\text{ここで } D_i = E t_i^3 / 12(1-\nu^2), \quad \lambda_i = \frac{1}{\lambda_i} \left\{ \frac{\pi_{i-1}}{\sin \pi_{i-1}} - \pi_i (\cot \pi_{i-1} + \cot \pi_i) + \frac{\pi_i}{\sin \pi_i} \right\}$$

$V_3$  は St. Venant の振れによる垂エネルギーで

$$V_3 = \frac{1}{2} \int_L \sum_{i=2}^{m-1} G J_i \delta_i'^2 dz + \frac{1}{2} \int_L (G J_i \phi_i'^2 + G J_m \phi_{m-1}'^2) dz$$

次に外力のポテンシャルエネルギーは図4に示すよろは  $P_x^0, Y_x^0, T_x^0$  なる外力を考へると

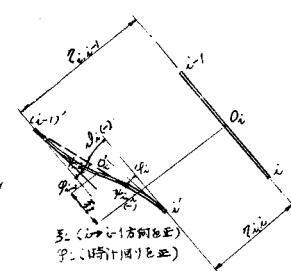


図3. 变位.

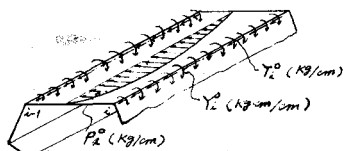


図4. 荷重

$$U = - \int_E \sum_{k=1}^m P_k^0 \bar{\beta}_k dz - \int_E \sum_{k=1}^{m-1} Y_k^0 \varphi_k dz - \int_E \sum_{j=1}^{m-1} ( \sum_{i=j}^m A_{ij}^* \bar{\beta}_i + E ) T_i^0 dz$$

$$\text{ここで } A_{ij}^* = A_{ij} + C_{i,j} \quad (i \neq j) \quad ; \quad A_{1,j}^* = A_{1,j} - C_{1,0} \quad (j=1), \quad = A_{1,j} \quad (j \neq 1)$$

以上で全系のポテンシャルエネルギー  $\Pi = V_1 + V_2 + V_3 + U$  が  $\bar{\beta}_k, \varphi_k$  で表わされたので、これを変分することによって釣り合い方程式が求まる。その結果体積端に沿う境界条件が自然境界条件を満たす時

$$\sum_{j=1}^m E R_{ij} \bar{\beta}_{j+1} - (a_{i,i+2} \bar{\beta}_{i+2} + a_{i,i+1} \bar{\beta}_{i+1} + a_{i,i} \bar{\beta}_i + a_{i,i-1} \bar{\beta}_{i-1} + a_{i,i-2} \bar{\beta}_{i-2}) + (b_{i,i+2} \bar{\beta}_{i+2} + b_{i,i+1} \bar{\beta}_{i+1} + b_{i,i} \bar{\beta}_i + b_{i,i-1} \bar{\beta}_{i-1} + b_{i,i-2} \bar{\beta}_{i-2}) \\ + (c_{i,i+2} \varphi_{i+1} + c_{i,i+1} \varphi_{i+1} + c_{i,i} \varphi_i + c_{i,i-1} \varphi_{i-1}) = P_k^0 - \sum_{j=1}^m A_{ij}^* T_j^0$$

$$g_{i,i+1} \varphi_{i+1} + g_{i,i+2} \varphi_{i+2} + g_{i,i+3} \varphi_{i+3} + (h_{i,i+1} \bar{\beta}_{i+1} + h_{i,i+2} \bar{\beta}_{i+2} + h_{i,i+3} \bar{\beta}_{i+3}) - \left\{ \begin{array}{l} GJ_i \varphi_i^{(i)} \\ GJ_{i+1} \varphi_{i+1}^{(i+1)} \end{array} \right\} = Y_i^0$$

$$EF \epsilon = - \sum_{j=0}^m T_j^0$$

に付随して

$$\left. \begin{aligned} a_{i,i+2} &= \frac{GJ_{i+1}}{S_{i+1}} \cdot \frac{1}{\sin \theta_{i+1} \sin \theta_{i+2}} \\ a_{i,i+1} &= - \left( \frac{GJ_{i+1}}{S_{i+1}} \cdot \frac{\cot \theta_{i+2} \cot \theta_i}{\sin \theta_{i+1}} + \frac{GJ_i}{S_i} \cdot \frac{\cot \theta_i + \cot \theta_{i+1}}{\sin \theta_{i+1}} \right) \\ a_{i,i} &= \frac{GJ_{i+1}}{S_{i+1}} \cdot \frac{1}{\sin \theta_{i+1}} + \frac{GJ_i}{S_i} (\cot \theta_{i+2} \cot \theta_i) + \frac{GJ_{i+1}}{S_{i+1}} \cdot \frac{1}{\sin \theta_{i+2}} \\ a_{i,i-1} &= - \left( \frac{GJ_i}{S_i} \cdot \frac{\cot \theta_i + \cot \theta_{i+1}}{\sin \theta_i} + \frac{GJ_{i+1}}{S_{i+1}} \cdot \frac{\cot \theta_{i+1} + \cot \theta_{i+2}}{\sin \theta_{i+1}} \right) \\ a_{i,i-2} &= \frac{GJ_{i+1}}{S_{i+1}} \cdot \frac{1}{\sin \theta_{i+1} \sin \theta_{i+2}} \\ c_{i,i+2} &= \frac{6D_{i+1}}{S_{i+1}} \cdot \frac{1}{\sin \theta_{i+1}} \\ c_{i,i+1} &= \frac{6D_{i+1}}{S_{i+1}} \cdot \frac{1}{\sin \theta_{i+1}} - \frac{6D_i}{S_i} (\cot \theta_{i+1} + \cot \theta_i) \\ c_{i,i} &= - \frac{6D_i}{S_i} (\cot \theta_i + \cot \theta_{i+1}) + \frac{6D_{i+1}}{S_{i+1}} \cdot \frac{1}{\sin \theta_{i+1}} \\ c_{i,i-1} &= \frac{6D_{i+1}}{S_{i+1}} \cdot \frac{1}{\sin \theta_{i+1}} \end{aligned} \right\}$$

$b_{i,i+2}, \dots, b_{i,i-2}$  は  $a_{i,i+2}, \dots, a_{i,i-2}$  の中の係数

$GJ_i / S_i$  はそれぞれ  $12D_i / S_i^3$  である

$a, b, c, g, h$  の計算中  $J_i, J_{i+1}, D_i, D_{i+1}$  はゼロとする。

$$\left. \begin{aligned} h_{i,i+1} &= \frac{6D_i}{S_i} \cdot \frac{1}{\sin \theta_{i+1}} \\ h_{i,i} &= \frac{6D_{i+1}}{S_{i+1}} \cdot \frac{1}{\sin \theta_i} - \frac{6D_i}{S_i} (\cot \theta_{i+1} + \cot \theta_i) \\ h_{i,i-1} &= \frac{6D_i}{S_i} \cdot \frac{1}{\sin \theta_i} - \frac{6D_{i+1}}{S_{i+1}} (\cot \theta_i + \cot \theta_{i+1}) \\ h_{i,i-2} &= \frac{6D_{i+1}}{S_{i+1}} \cdot \frac{1}{\sin \theta_{i+1}} \end{aligned} \right\}$$

$$g_{i,i+1} = 2D_i / S_i, \quad g_{i,i} = 4(D_i / S_i + D_{i+1} / S_{i+1}), \quad g_{i,i-1} = 2D_{i+1} / S_{i+1},$$

以上  $\bar{\beta}_i$  と  $\varphi_i$  についての連立微分方程式を解けば、慣用の梁、ラーメンの力学から

$$\sigma_i = \frac{M_i}{I_i} s, \quad M_i = EI_i \bar{\beta}_i$$

$$\left. \begin{aligned} Y_{i+1} &= \frac{2D_i}{S_i} (2\varphi_{i+1} - \varphi_{i+2}) \\ Y_i &= \frac{2D_i}{S_i} (-\varphi_{i+1} + 2\varphi_{i+2}) \end{aligned} \right\} \quad \left. \begin{aligned} \varphi_{i+1} &= \varphi_{i+1} - \alpha_{i+1} \\ \varphi_{i+2} &= -(\varphi_{i+1} - \alpha_{i+1}) \end{aligned} \right\}$$

などから応力(又は内力)が求まる。実際の計算にはフーリエ級数解によるのが適当である。

### 応用例。

最も簡単な例として右図のような I 形断面に応用すると

$$EI_z \bar{\beta}_1 - \frac{2GJ_z}{S_z} \bar{\beta}_2 + \frac{24D_z}{S_z^3} \bar{\beta}_1 + \frac{12D_z}{S_z^2} \varphi_1 = P_1^0$$

$$EI_z + 2F_z \left( \frac{S_z}{2} \right)^2 \bar{\beta}_2 = P_2^0 \quad (\text{深の曲げモーメントの式})$$

$$\frac{12D_z}{S_z} \bar{\beta}_1 - GJ_z \varphi_1 + \frac{6D_z}{S_z} \varphi_1 = 0$$

$$S_z = h, \quad I_z = I_f, \quad T_z = T_f, \quad J_z = J_w \quad \bar{\beta}_1 = \frac{h}{2} \beta \quad \varphi_1 = \beta - \alpha, \quad P_1^0 = m_t / h \quad \text{おきかえると式 1, 3 式は}$$

$$\left. \begin{aligned} EI_f \frac{h^2}{2} \beta'' - GJ_w \beta'' + \frac{24D_w}{h} \beta + \frac{12D_w}{h} \alpha &= m_t \\ \frac{6D_w}{h} \alpha - GJ_f (\beta'' - \alpha) &= 0 \end{aligned} \right\}$$

ここで  $EI_f \frac{h^2}{2}$  は  $ECbd$  になっていて、上の式は Goodier の導いた式に一致する。<sup>\*</sup>

その他断面連合形木構についての若干の計算例を行つたが、余次回の都合上省略する。当日木会が面れば発表したい。

\* "The Effect of Web Determination on the Torsion of I-Beams" Goodier & Barton, Jour. of App. Mech. 1944, March p.35

